

原子能译丛

基本粒子加速器

2

1958

科学出版社

原子能譯丛(季刊)

編輯者 中國物理學會

“原子能”編輯委員會

(北京郵箱962號)

出版者 科 學 出 版 社

印刷者 北京新华印刷厂

發行者 新 华 書 店

(京)1—840冊

1958年5月出版

定价：0.55元

苏联編輯部說明

1956年5月14日到22日在莫斯科召开了全苏高能粒子物理會議。在一个分組會議上听取和討論了关于基本粒子加速器的報告。大部份報告的提綱都在會議開始前發表了（全苏高能粒子物理會議報告提綱，苏联科学院1956年出版）。

到目前为止，有許多報告已經在一些雜志上刊登過，其中有登在“原子能”雜志上的。

在提供給讀者的這一期“原子能”雜志副刊中收集了數篇報告，其中有些至今尚未發表過，有些則沒有全文發表過。

本副刊所收集的文章，其中也有幾篇曾在帶電粒子加速器的會議上報告過（1956年6月，日內瓦）。計有下列的幾篇：茹拉夫列夫（А. А. Журавлев）、柯馬爾（Е. Г. Комар）、莫扎列夫斯基（И. А. Мозалевский）、莫諾斯仲（Н. А. Моносзон）、斯托洛夫（А. М. Столов）的“100億電子伏特同步穩相加速器的磁鐵特徵”，柯洛明斯基（А. А. Коломенский）和列別捷夫（А. Н. Лебедев）的“大能量電子迴旋加速器的若干特點”，莫洛斯（Е. М. Мороз）和拉賓諾維奇（М. С. Рабинович）的“分段式迴旋加速器”，沙爾沙諾夫（А. А. Шаршанов）的“用橫斷透鏡系統來使直線加速器中的粒子束聚焦的理論”一文闡述了“直線電子加速器的強聚焦”報告中的一部份內容〔作者斯捷潘諾夫（К. Н. Степанов）和沙爾沙諾夫（А. А. Шаршанов）〕這個報告是在全蘇高能粒子物理會議上做的。

本集所發表的文章，將對從事基本粒子的迴旋式加速器及直線加速器方面工作的專家有所幫助。

目 录

(編者按：这一期是从苏联“原子能”杂志副刊第4期翻譯来的，內容并無增刪)

苏联編輯部說明

- | | |
|--|----|
| 100 亿电子伏特同步稳相加速器建造的物理基础 | |
| (維克斯勒、柯洛明斯基、彼圖霍夫、拉宾諾維奇) ······ | 1 |
| 联合原子核研究所 100 亿电子伏的同步稳相加速器
的磁场特征 (茹拉夫列夫、柯馬尔、莫扎列夫斯
基、莫諾斯仲、斯托洛夫) ······ | 11 |
| 分段式迴旋加速器(莫洛斯、拉宾諾維奇) ······ | 23 |
| 大能量电子迴旋加速器的若干特点(柯洛明斯基、列別捷夫) · | 27 |
| 电子在同步加速器中的不相干辐射以及它在研究加
速器方面的若干应用(阿多、切連柯夫) ······ | 43 |
| 苏联科学院物理研究所 280 兆电子伏特同步加速器
的特性(別雅克、維克斯勒、卡努尼柯夫、契連柯夫、
亞布洛柯夫) ······ | 51 |
| 在电子加速器加速状态下粒子俘获理論的實驗基础 | |
| (洛班諾夫、彼圖霍夫) ······ | 67 |
| 用橫斷透鏡系統來使直線加速器中的粒子束聚焦的
理論(沙爾沙諾夫) ······ | 77 |

100 亿电子伏同步稳相加速器 建造的物理基础

维克斯勒 (В. И. Векслер) 柯洛明斯基 (А. А. Коломенский)

彼图霍夫 (В. А. Петухов) 拉宾诺维奇 (М. С. Рабинович)

現时同步稳相加速器型的迴旋加速器保証得到現代技术所能达到的最高能量的質子。所有在工作中的和建造中的能量超过 10 亿电子伏的質子加速器都是同步稳相加速器^{*)}。强聚焦的应用在多数情况下也是跟同步稳相加速方法的使用联系起来的。

我們在 1948—1950 年所建立的同步稳相加速器理論，以及由研究在苏联科学院列別杰夫物理研究所运转的 180 兆电子伏同类加速器和建造 100 亿电子伏同步稳相加速器所积累起来的經驗，提供了設計这类加速器的可靠基础。

在这篇报告里，叙述苏联科学院 100 亿电子伏質子同步稳相加速器建造的物理基础^{**)}，我們將要討論下面的一些問題：

- 1) 在加速循环的各个阶段中粒子运动一般理論的結果：当粒子从入射加速器引进时，当粒子入射（俘获）时，在加速工作状态时，当粒子引出时；
- 2) 各种扰动的影响；电子加速器式振盪及同步加速器式振盪的諧振；
- 3) 确定各种参数的允許誤差；
- 4) 对于輔助装置的基本要求。

此外，有一系列这里关涉到的問題，在几篇关于科学院物理研究所建造并經研究的能量为 180 兆电子伏的質子同步稳相加速器模型的报

^{*)} 在苏联文献中習慣称具有恒定半径、可变磁場及可变加速电压頻率的环形自动稳相加速器为同步稳相加速器。

^{**)} 如所周知，这个加速器已經移交給聯合原子核研究所，是在 1957 年 4 月开始运转的。

告中討論過。

我們列舉了本文用到的蘇聯科學院加速器的若干基本特性：

粒子的最大能量	· · · · ·	100 亿电子伏
注入粒子的能量	· · · · ·	~9 兆电子伏
加速一次循環持續時間	· · · · ·	3.3 秒
粒子运行一周平均能量增加	· · · · ·	~2.2 仟电子伏
軌道半徑	· · · · ·	28 米
直綫地段的数量	· · · · ·	4
每个直綫段的長度	· · · · ·	~8 米
真空室的孔徑	· · · · ·	200 × 36 厘米 ²
在补偿繞組接通時工作區域寬度 (磁場指數 $n=0.55 \div 0.75$)	· ·	
a) 當粒子注入時	· · · · ·	~135 厘米
b) 在加速末了時	· · · · ·	~90 厘米

電子加速器式振盪

把瞬時閉合軌道和軌道的法綫看作座標綫族，我們在這樣的座標系統中討論粒子運動的情形。可以證明，在這個情況下振盪方程式具有下列的形式：

$$x'' + x^2(\sigma)g(\sigma)x = 0, \quad x = \rho, z, \quad (1)$$

其中 ρ, z 相應為徑向和軸向坐標，小撇表示對長度 σ 沿軌道取的微分；

$$x^2(\sigma) = \begin{cases} 1 - n(\sigma) & \text{——對於徑向振盪,} \\ n(\sigma) & \text{——對於軸向振盪;} \end{cases}$$

x 是偏離軌道的值； $g(\sigma) = \frac{1}{R^2(\sigma)}$ ； $R(\sigma)$ 是曲率半徑。 $g(\sigma)$ 是周期為 σ_0 的周期性函數。在對實際有意義的情況下（遠離諧振時），方程式(1)的解可以寫成

$$x = D e^{i \mu \frac{\sigma}{\sigma_0}} \varphi(\sigma) + \text{k. c.}^*, \quad (2)$$

這裡 $\varphi(\sigma)$ 是周期性函數（弗洛凱複變函數）。

我們將函數 $\varphi(\sigma)$ 和共轭複變函數 $\varphi^*(\sigma)$ 归一化，使它們的符隆斯

* k. c. 即共轭复数。

金算子 (Вронскиан) 等于 $-2i$, 这样两个函数的模具备一系列有意思的特点在任何方位角 σ 下粒子最大偏差可以用下式表示:

$$\begin{aligned} A^2 &= \frac{\phi(\sigma)}{\phi(\sigma_i)} [x_{\text{初始}}^2 + \phi^2(\sigma_i) (\gamma_{\text{初始}} - \gamma_{\text{适宜}})^2], \\ \gamma_{\text{适宜}} &= \frac{x_{\text{初始}}}{2} \left(\frac{d \ln \phi}{d \sigma} \right)_{\sigma_i}, \end{aligned} \quad (3)$$

这里 $\gamma_{\text{适宜}}$ 是适宜的角偏轉值。 $\phi^2(\sigma_i)$ 一值, 可以看作设备的有效半径, 表征著焦聚作用。当 $\phi^2(\sigma_i)$ 减小时, 可能有不增加振盪幅度的大角偏轉。在 $\gamma = \gamma_{\text{适宜}}$ 时振盪最小, $\gamma_{\text{适宜}}$ 与 $x_{\text{初始}}$ 有关。这在持续入射时, 当 $x = \rho$ 从 0 改变到 $\rho_{\text{入射}}$ —— 入射器極到平均轨道的距离时, 具有重要的意义。

对于这里討論的同步稳相加速器,

$$\phi(\sigma_i) = \frac{R^2}{1-n} - 1.1,$$

从这里可以看到, 由于存在着直綫間節, 聚焦仅仅变坏 5%。因此, 如果直綫段的影响仅仅改变焦聚值, 那末可以把这些段增长几倍。經過入射时间 $\gamma_{\text{适宜}}$ 从 0 变到 3'。如果考虑到引焦角誤差为 $\sim 10'$ 时, 粒子已經不能納入加速工作状态, 那末这个值算是显著的了。

磁场畸变对粒子运动的影响

如果在方程式(1)的右端加上函数 $q = q(\sigma)$, 那末磁场的畸变可以計算出来。找出一个畸变閉合轨道就足以描写任何(非共振的)扰动。在方程式(1)的所有解中, 我們感兴趣的仅是周期性解, 即

$$x_M(\sigma) = \frac{\psi(\sigma) e^{iN\mu}}{2i(1-e^{iN\mu})} \int_{\sigma_0}^{\sigma+\Pi} q(\varepsilon) \psi^*(\varepsilon) d\varepsilon + \text{k. c.}, \quad (4)$$

其中 $\psi(\sigma)$ 是弗洛凯函数; N 量直綫間节数; Π 是轨道的周长; μ 是特征指數。

公式对实际运算并不方便, 因此最好把解(4)分解为富氏級数, 或按公式(1)的本征函数分解为級数。

对于 100 亿电子伏的加速装置, 这个方程式的本征函数已經編列

成表。它們用来进行关于磁场畸变对于粒子运动影响的校核計算。

这里我們將只討論几个例子。令解(4)分解成为富氏級數。已知，在圆形加速器中（無直綫段），第一个諧波有着决定性的影响。在軌道畸变值的式子中有諧振乘子在：

$$M_{\rho} = \frac{1}{x_{\text{谐振}}^2 - x^2} = \frac{1}{1 - (1-n)} = \frac{1}{n} \quad \text{径向振盪;}$$

$$M_z = \frac{1}{x_{\text{谐振}}^2 - x^2} = \frac{1}{1-n} \quad \text{軸向振盪。}$$

迴轉頻率取为 1。所以第一乘子相应于 $n_{\text{谐振}} \approx 0$ 的径向振盪諧振，而第二乘子相应于 $n_{\text{谐振}} \approx 1$ 的軸向振盪諧振。在圆形加速器中，这二諧振处在稳定区域的邊緣；而当有直綫間节存在时，这二諧振向內推移。例如，在 100 亿电子伏的同步稳相加速器上，对于径向振盪 $n_{\text{谐振}} = 0.16$ ，对于軸向振盪 $n_{\text{谐振}} = 0.84$ 。

从諧振乘子 $M_{\rho, z}$ 的式子中可以明白，由于 $(n_{\text{谐振}})_{\rho, z}$ 值因为有直綫段存在而改变的緣故，磁场扰动影响大大地增加了。和無直綫地段的相应加速器相比較，瞬时閉合軌道的畸变在其他相同的条件下要大 30—40%，而平中心面畸变甚至要大出 2—3 倍。

模型的計算及試驗指出，应当認為制备軌道畸变在径向不超过土 20 厘米在軸向不超过土 6 厘米的磁鐵是現實的。这些要求在直綫地段长度~8 米时能够滿足，这个长度从另外一些觀点（安置無綫电频率裝置，粒子引出系統等等）看来也是合宜的。进一步的增加直綫地段的长度，将大大提高对磁场精确度的要求。

快(电子加速器的)振盪的諧振

快振盪的諧振是十分危险的。这个現象的研究結果預定了特別是磁场指数 n 正確数值的选择。

以 $Q_{\rho, z} = \frac{N_{\mu_{\rho, z}}}{2\pi}$ 表示粒子繞行一圈所完成的电子感应加速振盪次数。

在周期性磁场系統中（上述有直綫段的弱聚焦加速器也就屬於这种系統），当綫性近似时出現下列諧振：简单(外)諧振与参数諧振一起

$(Q_{\rho,z} \approx k, k \text{ 为整数})$; 参数谐振 $(Q_{\rho,z} \approx k \pm 1/2)$; 并合谐振 $(Q_{\rho} \pm Q_z \approx k)$ —— Q 值之和与差。

特征数 $\mu_{\rho,z}$ 具有形式:

$$\cos \mu_{\rho,z} = \cos \frac{2\pi z}{N} - \frac{\pi L}{2R} \sin \frac{2\pi \rho}{N}, \quad (5)$$

这里 L 是直线间节的长度。

在简单谐振与参数谐振一起时 ($Q \approx 1$):

$$(n_{\text{谐振}})_z \approx 1 - \frac{NL}{2\pi R}, \quad (n_{\text{谐振}})_{\rho} \approx \frac{NL}{2\pi R}, \quad (6)$$

这样 $(n_{\text{谐振}})_z = 0.84$ 。 ρ 向运动 ΔH_z 的第一、第二本征函数(谐波), z 向运动 H_{ρ} 的第一谐波和 ρ 向及 z 向运动 Δn 的第二谐波都是谐振的 ($\Delta H_z, H_{\rho}, \Delta n$ 描述扰动)。

在参数谐振时 ($Q \approx \frac{1}{2}$),

$$(n_{\text{谐振}})_{\rho} \approx 0.75 + \frac{NL}{8\pi R}, \quad (n_{\text{谐振}})_z \approx 0.25 - \frac{NL}{8\pi R}, \quad (7)$$

这样 $(n_{\text{谐振}})_{\rho} = 0.79$, $(n_{\text{谐振}})_z = 0.16$ 。 ρ 向运动 ΔH_z 及 Δn 的第一谐波和 z 向运动 Δn 的第一谐波都是谐振的。

在大同步稳相加速器 ($N=4$) 中, 包括在上述加速器中, (6) 及 (7) 的数值可以看出来是相近的:

$$(n_{\text{谐振}})_{\rho,z} \approx 0.8, \quad (n_{\text{谐振}})_{\rho,z} \approx 0.2.$$

在振盪能量从径向运动轉为軸向运动或者相反时出現的差动谐振, 当 ρ 向与 z 向振盪频率相等时, 相应

$$n_{\text{谐振}} \approx 0.5, \quad (8)$$

当有間节存在时, 除 (8) 之外, 还出現两个 $n_{\text{谐振}}$ 的值, 处在稳定区域范围内, 但是十分接近边界:

$$n_{\text{谐振}} \approx \left(\frac{NL}{4\pi R} \right)^2, \quad n_{\text{谐振}} \approx 1 - \left(\frac{NL}{4\pi R} \right)^2. \quad (9)$$

在圆形加速器上。总和諧振仅仅在稳定区域边界發生 ($n_{\text{谐振}} = 0, n_{\text{谐振}} = 1$)。在有滿足普通条件 $ML/4\pi R \ll 1$ 的直綫地段存在时, 在弱焦聚磁铁中不可能产生諧振。

在一定的条件下，除了綫性諧振之外，若干非綫性諧振也可能是危险的，例如 $n \approx 0.2$ 相应于 $Q_s = 2Q_0$ 的諧振在穩相加速器中就起着重要的作用。

研究表明，在一定的裝置中滿足条件

$$0.55 < n < 0.75$$

的区域是安全地带（就諧振的影响講）。

計算过与扰动值关系很大的諧振寬度，也估計了在入射时刻，在束的指示时刻（束折到某个靶上）和在束引出室时諧振的搖摆程度（或諧振阻尼）。

由所有这些数据可以估計对加速器空隙中磁場結構的要求。

我們指出，在加速过程中諧振的作用各各不同。已經探明，在一定条件下某几个諧振的影响，其中如 $n \approx 0.79$, $n \approx 0.84$, $n \approx 0.5$ 时，譬如說，对于提高入射效率或是当粒子从室内引出时，可以是有利的。

同步加速器的諧振搖摆和噪音搖摆

我們討論了在加速过程中同步加速器振盪的諧振搖摆問題。理論上的推导和加速質子到能量 180 兆电子伏的同步穩相加速器工作模型上所做的實驗作了对照。应当注意到，由于基本相位方程式的非綫性，在分析計算时在数学上發生了巨大的困难。計算是在波郭留波夫(Н.Н. Боголюбов) 和米特洛波爾斯基 (Ю. М. Митропольский) 的工作中發展的非綫性力学的近似方法的基础上进行的。

在綫性近似的情形下，相振盪通过諧振后的幅度具有下列的形式：

$$\left. \begin{aligned} a_{\max}^{\text{綫性}} &= \sqrt{\frac{\pi}{2|\dot{\omega}_s|}} \cdot \frac{\omega_0}{(1-n)\tau} \cdot \frac{h_j}{H}, \quad \left(\tau = 1 + \frac{L}{2\pi R} \right), \\ a_{\max}^{\text{綫性}} &= \sqrt{\frac{\pi}{2|\dot{\omega}_s|}} c_j, \\ a_{\max}^{\text{綫性}} &= \sqrt{\frac{\pi}{2|\dot{\omega}_s|}} \omega_s \operatorname{ctg} \varphi_0 b_j, \end{aligned} \right\} \quad (10)$$

其中 h_j, c_j, b_j 是 H, ω_0, V_0 的諧振諧波振幅； ω_0 是諧振幅等于 V_0 的加速电压的振盪頻率； ω_s 是同步加速器小相位振盪的頻率； φ_0 是平衡相位。

在非线性情况下，我们导得适用于 H 振盪的近似式：

$$\alpha_{\max}^{\text{非线性}} \approx \frac{4.8}{1 + \frac{5}{3} \operatorname{ctg}^2 \varphi_0} \left[\sqrt{\frac{\pi}{2}} \cdot \frac{\omega_0}{\omega_*} \cdot \frac{h_j}{H} \cdot \frac{1}{(1-n)\tau} \right]^{1/3}. \quad (11)$$

根据公式 (10), (11) 确定了谐振波 h_j, c_j, b_j 的允许误差，在这样的误差情形下相振盪幅度不超过一个弧度（从 φ_0 向右偏的程度为 ~ 1.5 弧度）。

加速器磁铁绕组的供电用六相全波整流器，这使得在磁场中出现频率为 600 周的第一谐波。因此，研究了磁场纹波的示波器图形。

下面列出这些曲线（不用消除纹波的特殊线路得到的曲线）分析为富氏级数的结果*)：

$$h_{600} = 3.5 \cdot 10^{-2} \text{ 奥};$$

$$h_{1200} = 10^{-2} \text{ 奥};$$

$$h_{1800} = 3.5 \cdot 10^{-2} \text{ 奥}.$$

计算指出，虽然这些谐波的振幅很小，却能够使相振盪发生显著的摇摆。在无线电频率的装置中能够在加速过程里控制 V_0 ，使得频率 ω ，不超过 600 和 1800 周。

因此，最危险的是频率为 1200 周的谐波，而通过这个谐波是不能避免的。由这个谐波所引起的相振盪振幅的计算结果列入下表。在表中还列举了相应于各个固定 V_0 值的数据。

消除纹波的专门电路能够减小共振谐波的振幅 6—7 倍。

在磁场中，在加速电压的振幅和频率中的噪音能够成为加速器工作的严重威胁。由于噪音所引起的相振盪（在加速结束时）的均方根值

*) 按照最新的数据，纹波振幅有如下的值（写作基本磁场 H 的百分率）：

磁 场 强 度, 奥	频 率, 周		
	600	1200	1800
150	2.3	0	0.3
4000	5	2	1
11600	7.8	3	1.5

V_0 千伏	$\cos \varphi_0$	$\alpha_{\max}^{\text{總}} \text{弧度}$	$\alpha_{\max}^{\text{非總}} \text{弧度}$
9.6	0.25	0.9	0.70
5.8	0.40	1.3	0.85
4.8	0.48	1.5	1.00
4.0	0.57	2.2	1.05

由下列公式表示。

$$\langle a^2 \rangle^{1/2} \approx \frac{K}{\omega_*} (\pi \Phi T)^{1/2}, \quad (12)$$

式中 T 是加速时间； K ——由噪音的型式决定（例如对于磁场的噪音 $K = -\frac{\omega_0}{H} \cdot \frac{1}{(1-n)\tau}$ ）， Φ 是噪音的谱密度，由下式决定。

$$\int_0^\infty \Phi(\omega) d\omega = \frac{1}{T} \int_0^T I^2(t) dt, \quad (13)$$

式中 $I(t)$ 是噪音（例如 $H = H_0 + I(t)$, H_0 是计算的磁场），根据 $\alpha_{\max} \leq 1$ 弧度的要求，对于 H, ω_0, V_0 ，可以得到噪音的许可谱密度为：

$$\Phi_H \approx 2.5 \cdot 10^{-9} \frac{\text{奥}^2}{\text{弧度}/\text{每秒}},$$

$$\Phi_{\omega_0} \approx 1 \text{ 弧度}/\text{秒},$$

$$\Phi_{V_0} \approx 9 \cdot 10^{-9} \text{ 秒}.$$

应当强调指出，在计算时所采用的方法不能够彻底解决由于共振谱波和噪音的存在而引起的粒子相稳定损耗的复杂的数字问题。理论的结果应当由实验数据来充实。

入射与俘获到加速状态

曾经研究了各种入射方法：电子感应加速器的入射方法，同步稳相加速器的入射方法以及其他的方法。在研究结果的基础上，采取了两个阶段的入射。

第一阶段——瞬时轨道的弯曲在加速场断开时约延长 200—300 微秒。第二阶段——接入加速电压和俘获到加速状态的时间持续约为同步加速器振荡的一个周期（约为 1 毫秒）。

在专门的分析理论基础上，曾经计算了在不同的初始条件和束的各种特性以及在 V_0 和其他参数的不同数值下的入射效率。为了提高入射效率，考虑到可以调整（补偿）方位角不对称的第一，第二次谐波和磁中心面扰动的第一次谐波，以及在约 ±0.1 的工作区范围内调整数值 n 。

粒子引入真空室

选择了能量为 $W=9$ 兆电子伏的质子直线加速器（带有 600 千电子伏的初级入射器）作为入射加速器。这个入射加速器能够满足俘获条件所提出的下列要求：输出粒子能量的单一性是 10% 的粒子具有 $\frac{\Delta W}{W} \leq 0.003$ ；束直径 ~1 公分；角散射 ~0.1°。

为了达到俘获的最好条件，在直线加速器与同步稳相加速器的真空室之间，以改变束的角散射和束的横向大小（沿 ρ 和 δ ），以及改变输出点本身对真空室轴而言的位置来调整束。

此外还可以改变束轴在水平和垂直方向倾斜的角度。

在联结入射器与具有山形磁铁轭的加速器的各种可能方案中，采取了下列的方案：由直线加速器出来的束起先垂直于直线调节运动，束通过偏转磁扇面（~75°）和偏转电容器（~15°）之后，一共偏转了 90°。同时束还附加地通过双磁极正器（为了使束平行地移动）和使束轴弯曲的调整电容器的系统以及聚焦透镜的系统。磁偏转扇面同时还作为附加的透镜。由于有了能调整极面的倾斜和扇形面顶部边沿的专门设备，就可以在很宽的范围内独立地变化水平与垂直平面上的焦距。

粒子束的引出

加速器的结构允许在引出的质子束中以及在真空中产生的中子和介子束中做实验。为了这个目的而用的靶沿半径与磁场的变化同步地移动。这保证了束在由于磁场饱和效应而缩小了的工作区域内命中靶。

直线调节的几何形状允许引出（往半径大的方向）能量几乎为最大的可能的，亦即大约 90 亿电子伏的负介子。能量为 45 亿电子伏的正介

子在原則上能够引出(往半径小的方向)到环形加速器的內部。引出的介子束被同步稳相加速器的磁场分析和部分地聚焦。为了进一步聚焦，建議采用四極透鏡。引出能量相当小的二次粒子可以通过磁铁轭上的窗户。窗户里放有附加聚焦的透鏡。

曾經研究了利用由于粒子在靶上能量損失所引起的軌道摆动和利用了偏轉磁鐵引出質子束的可能性。以計算的方法詳細地研究了从同步稳相加速器真空室內引出的束的参数与靶上粒子散射能量的涨落和靶上粒子“斑点”大小之間的关系。說明了采取不均匀磁场的偏轉磁鐵引出束到直續間节时的特性大大改善：減小了束的截面和水平面上的角分散。并且在每平方厘米上束密度約增加 10 倍。

在加速电压的振幅慢慢减小时将束弯向靶可以“拉长”脉冲到 100 微秒，这对于一系列用束的實驗是很必要的。

联合原子核研究所 100 亿电子伏的 同步稳相加速器的磁场特征

茹拉夫列夫 (А. А. Журавлев)

柯馬尔 (Е. Г. Комар)

莫札列夫斯基 (И. А. Мозалевский) 莫諾斯仲 (Н. А. Моносзон)

斯托洛夫 (А. М. Столов)

总编

据：联合原子核研究所的同步稳相加速器的磁场特征具有下列基本数

在平衡軌道上($R_0=28$ 米)

在平衡軌道上極間縫隙的高度 $\delta = 40$ 厘米

磁场质量的表征是降落指数 $n = -\frac{dH}{dr} \cdot \frac{R}{H}$ 近似地保持常数值的加速区域的相对尺寸(按它的宽度计)、方位角磁场不均匀性的大小,以及磁对称面(在那里 $H_r = 0$)离开加速室中間平面的偏差($r = R - R_0$ ——离开 R_0 的径向座标的偏差)。

加速器能量的增加和在平衡轨道上的半径与磁场强度之比值的增长有关,这就要求更为严格地遵守已经给定的沿着半径方向的磁场强度的变化规律,因为磁场强度如果略微离开了给定值就将引起指数 n 的剧烈变化。

引起磁场强度“梯度” $\frac{dH}{dr}$ 的畸变是缝隙表面加工不精确、由于磁场强度在时间上的变化而引起的剩磁及动态效应的影响。由于表面加工不精确而引起的 n 的变化随着比值 $\frac{\delta}{R}$ 的减小而增大起来。在联合研究所的同步稳相加速器的电磁铁上，缝隙的相对值是比较小的，它占

31.43%。在磁场系統內剩磁和动态过程的影响正比于 $\frac{R}{H_0 \delta_0}$ 。入射时的磁场强度 H_0 一般是随着加速器最大能量的增加而减少的。在比較弱的入射磁场和比較小的比值 $\frac{\delta}{R}$ 时，剩磁和动态过程的畸变影响就会增大起来。

由于加速室的径向尺寸不大，它占了半径的 7%，就严重地提高了对方位角磁场均匀性的要求。

加速器的气隙尺寸比較小就限制了加速器磁对称面离开平面的可能的偏差，这就对于極靴歪斜和结构的各个元件中的涡流（例如在加速室的垂直壁上）提出了比較严格公差。

鑑于必須得到能够滿足十分严格要求的磁场特征，需要在建造加速器前研究校正磁场的有效方法。为了預先研究磁场特征，就做了一个小的模型，在每塊代表环形电磁铁的 $\frac{1}{48}$ 的某些鐵塊上进行了对磁场特征的从头到尾的研究和校正磁场方法的探討。

靜 态 特 徵

沿半径方向必須的磁场降落是由極靴的斜錐形表面（圖 1）（张开角度 $\alpha = 9.3 \times 10^{-3}$ 弧度）和二端的突角产生的。在圖 2 上列出了当磁场强度由 2 到 13 千奥时在鐵塊上得到的沿电磁鐵缝隙寬度的降落指數 n 的变化曲綫。測量是在靜态下在磁鐵的中間平面上进行的（当鐵

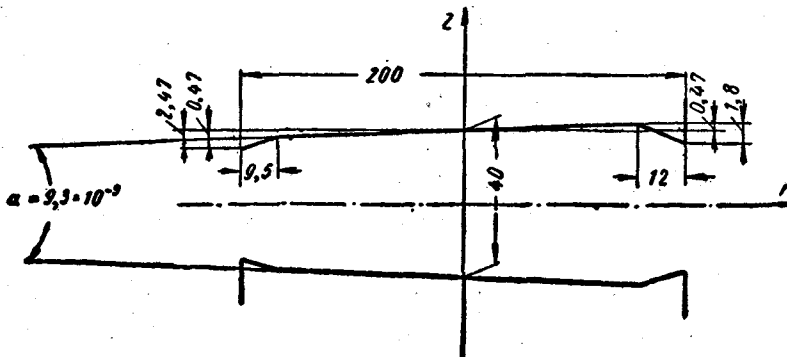


圖 1. 电磁鐵的磁極表面(尺寸以厘米計)
(圖中数字間的逗号即为小數点, 下同)

块的激磁繞組通以直流时)。当加速室中心的磁场强度为 $H_c=2000$ 奥时, 表征着足够离开了共振点 ($0.55 < n < 0.75$) 的有效工作区域的宽度将近有 150 厘米。由实验得到的磁场分布曲线相当好地符合于假定导磁系数 $\mu=\infty$ 而求得的计算结果。当磁场强度为 10,000 奥时工作区域的宽度是 90 厘米; 当 13,000 奥时——35 厘米。使用装在加速室内部的绕组就能扩大有效工作区域的尺寸, ·当 13,000 奥时达到 80 厘米, 这在加速末期是完全够了。

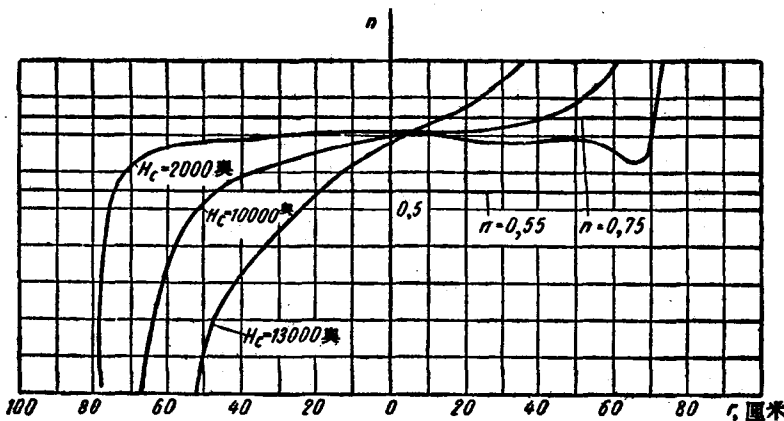


图 2. 在静态下在电磁铁缝隙中磁场降落指数的测量

在图 3 上表出了在激励电磁铁绕组前早就存在的各种剩磁场强度 H_0 时得到的磁场强度 150 奥时的降落指数大小。当慢慢减低电流时剩磁场的大小是 43 奥。此时由于剩磁场带来的畸变使入射初期的工作区域的尺寸小得超过容许限度。

利用振幅逐渐衰减的交流电激励绕组的方法来去磁得以显著地减低剩磁场的大小以及它的畸变作用。当剩磁场强度为 3 奥时工作区域的宽度在加速室中心磁场 $H_c=150$ 奥时达到了 150 厘米。为了减少在工作情况下的剩磁场, 制定了特殊的能在加速循环的休息时间自动作用的设备。设备能够改变去磁工作状态并以必要的精确度保证工作状态的重复性。

在静态下当各种不同大小的磁场强度时在加速器的电磁铁的铁块